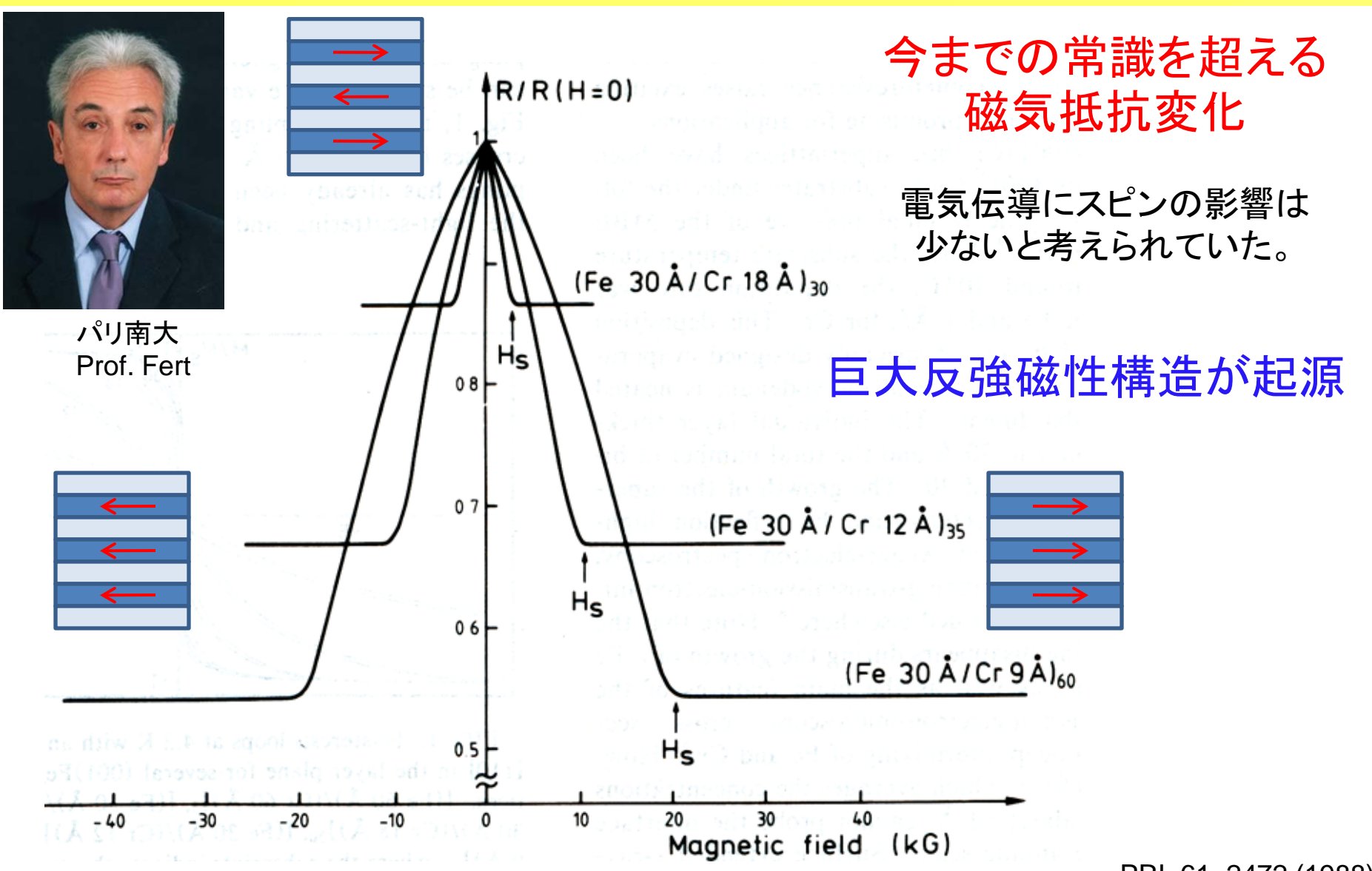
スピントロニクス

GMR(巨大磁気抵抗効果) と TMR(トンネル磁気抵抗効果)

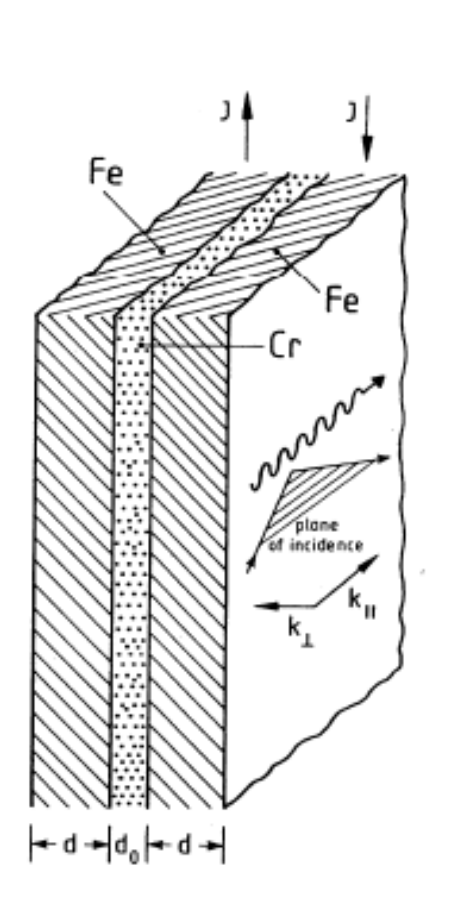
巨大磁気抵抗効果(GMR) の発見

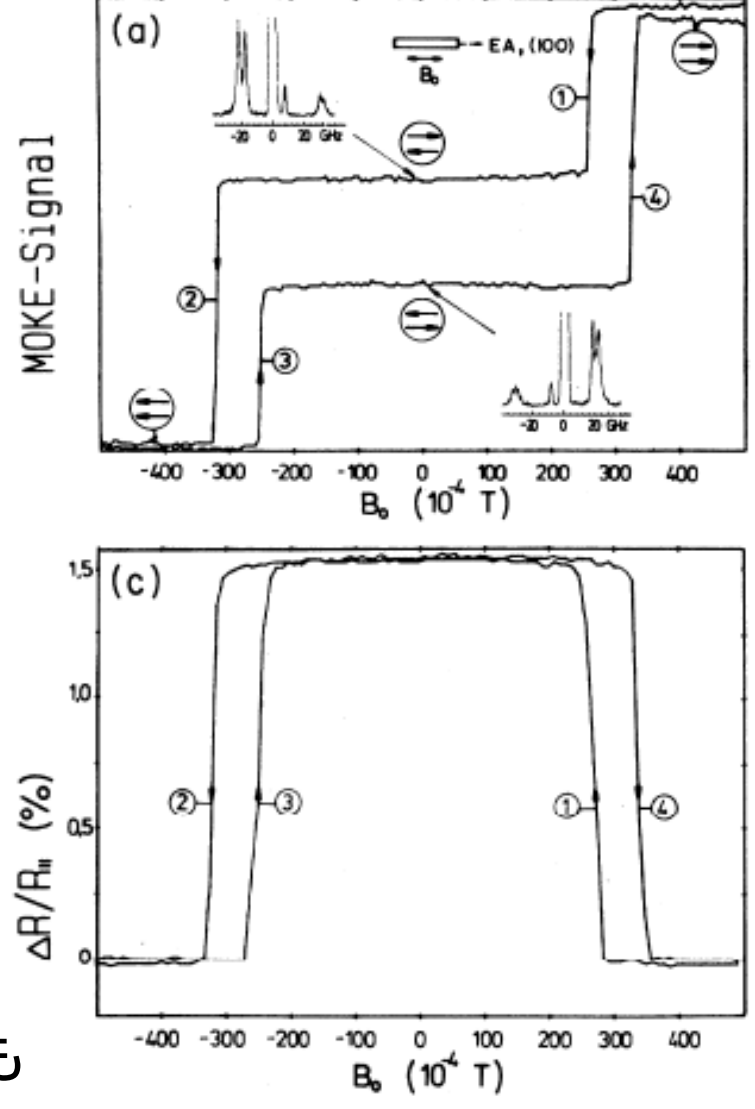


巨大磁気抵抗効果(GMR) の発見



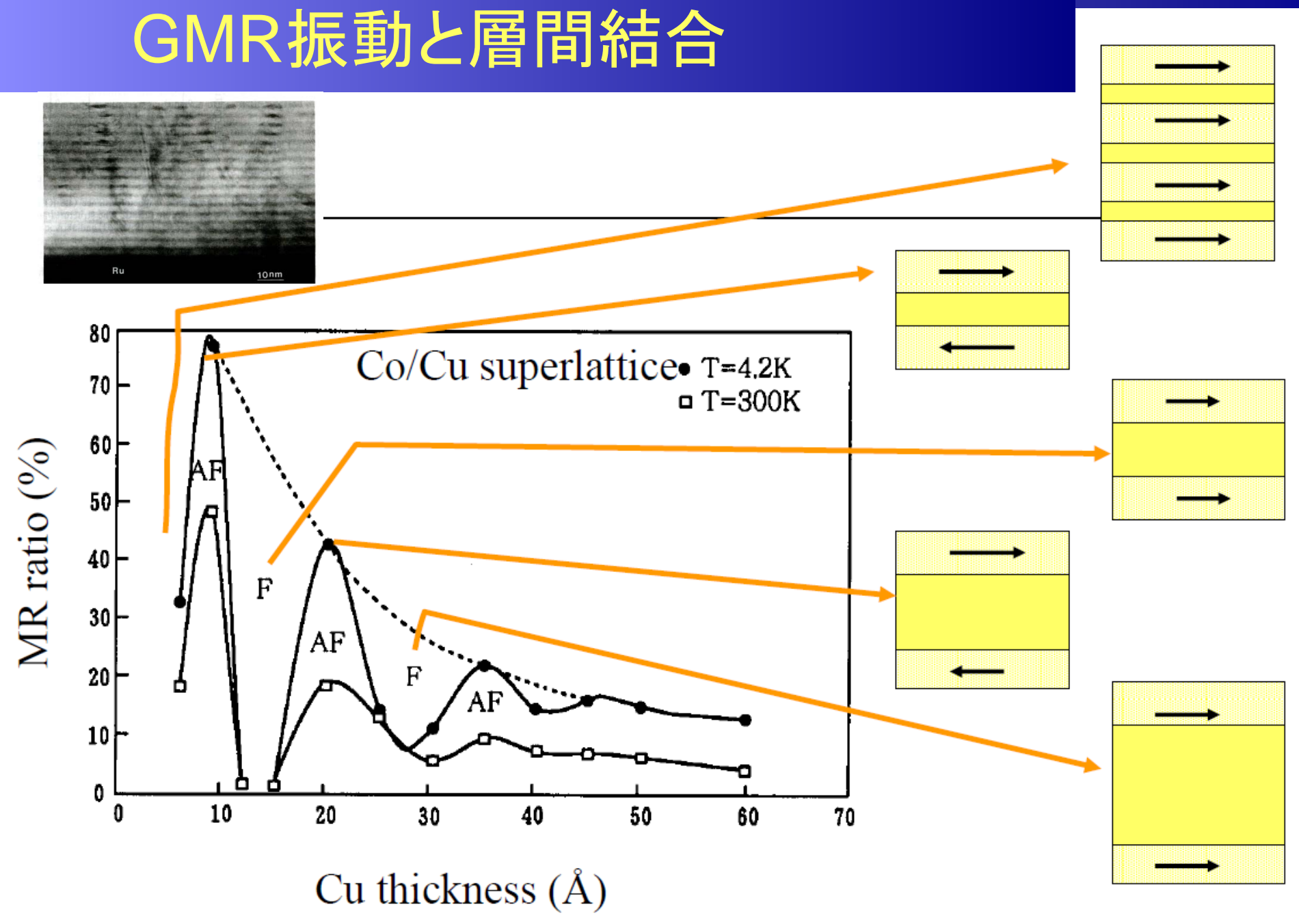
ユーリッヒ研究所 Dr. Grünberg





同時期、グリュンベルグのグループも Fe/Cr/Feの3層膜でGMR効果を発見

PRB 39, 4828 (1989).

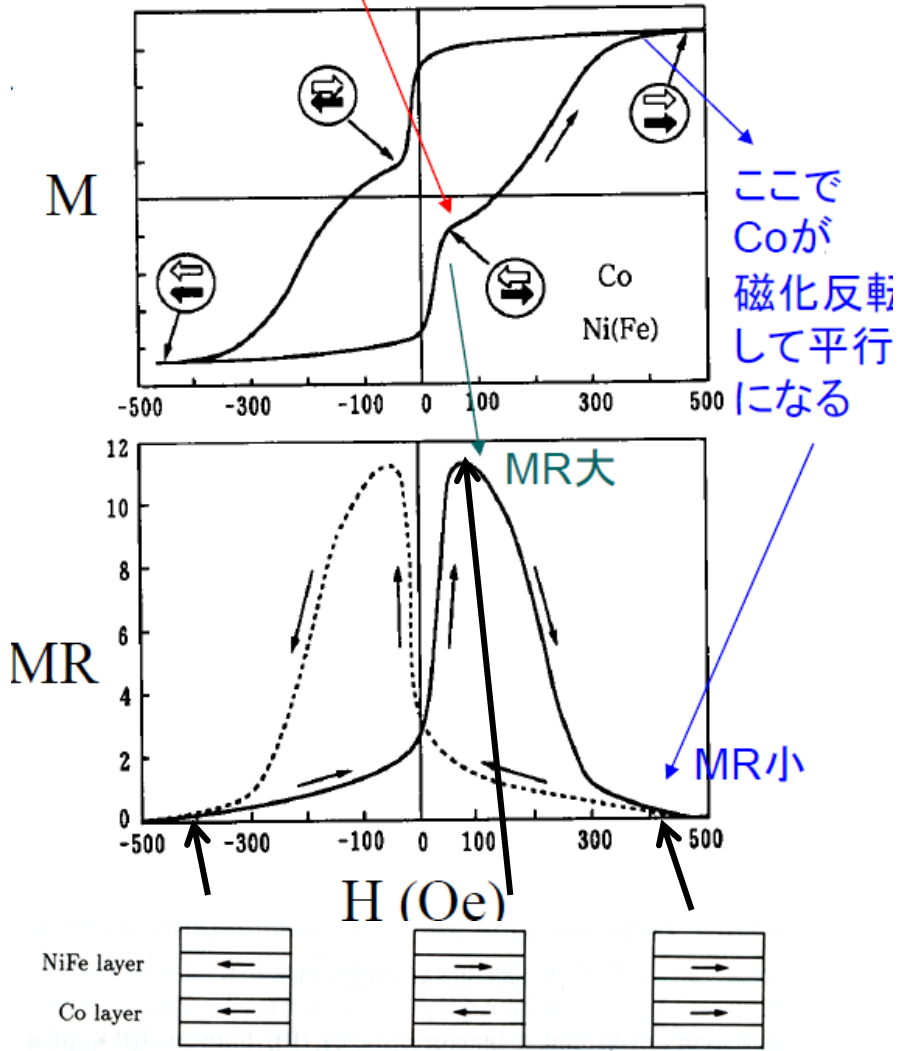


非結合型(保持力差型)GMR



京都大 新庄先生

ここでNiFeは磁化反転するが Coは反転しないので反平行。



GMRは3層構造が要



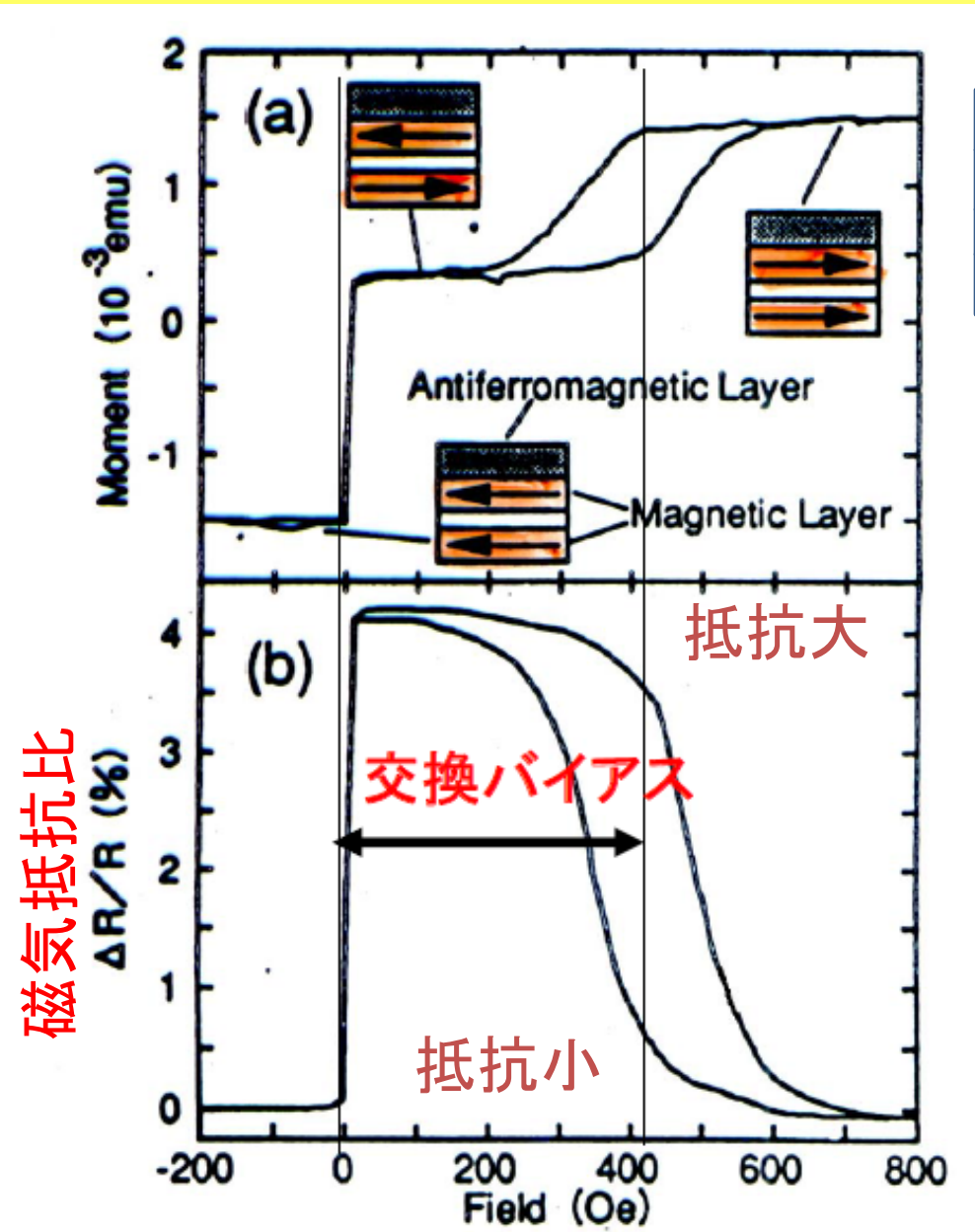
上層と下層の磁化の 向きを独立に制御

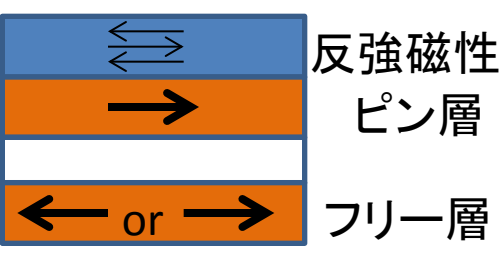


平行・反平行状態の 制御が容易

JSPS 59, 3061 (1990).

スピンバルブ型GMR







IBM Dr. S. Parkin

片方の磁化方向を 反強磁性体でピン止め



方向を変化させるのは (基本的に)フリー層のみ

さらに制御が容易に!

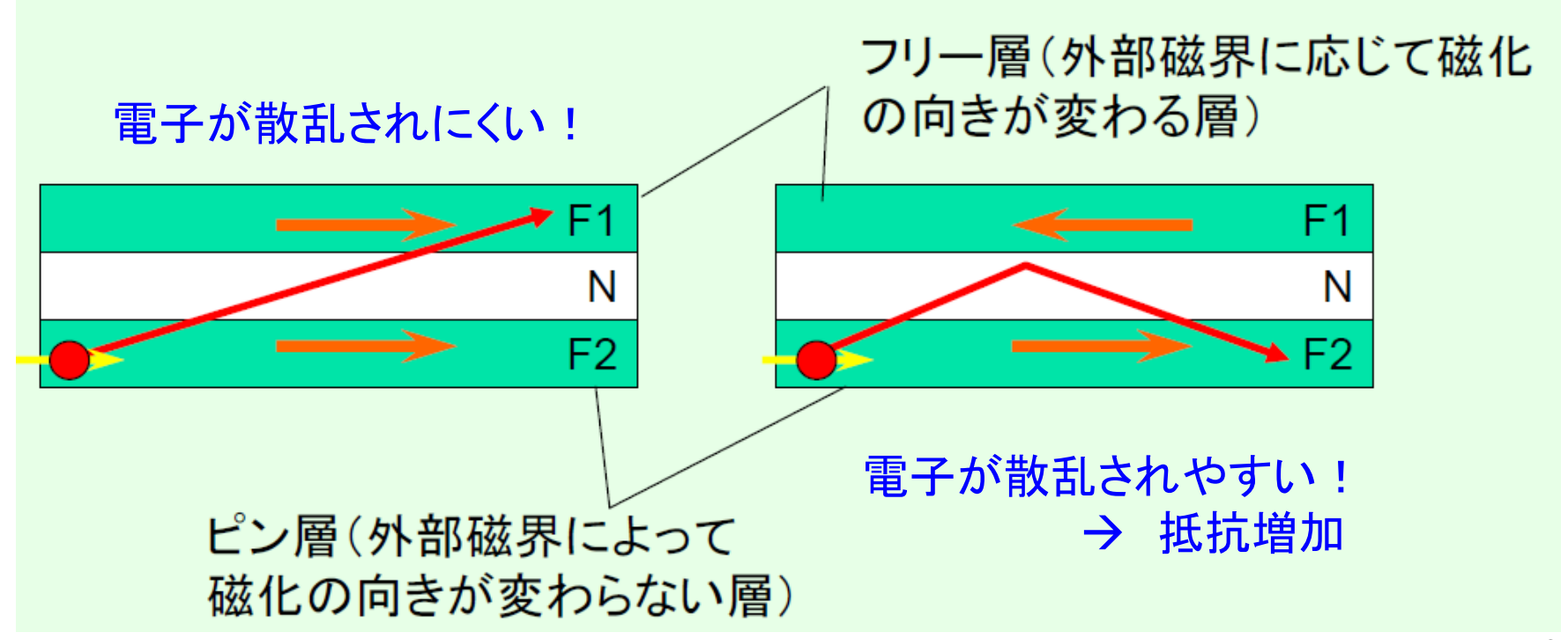
APL 58 2710 (1991).

巨大磁気抵抗効果(GMR)のまとめ

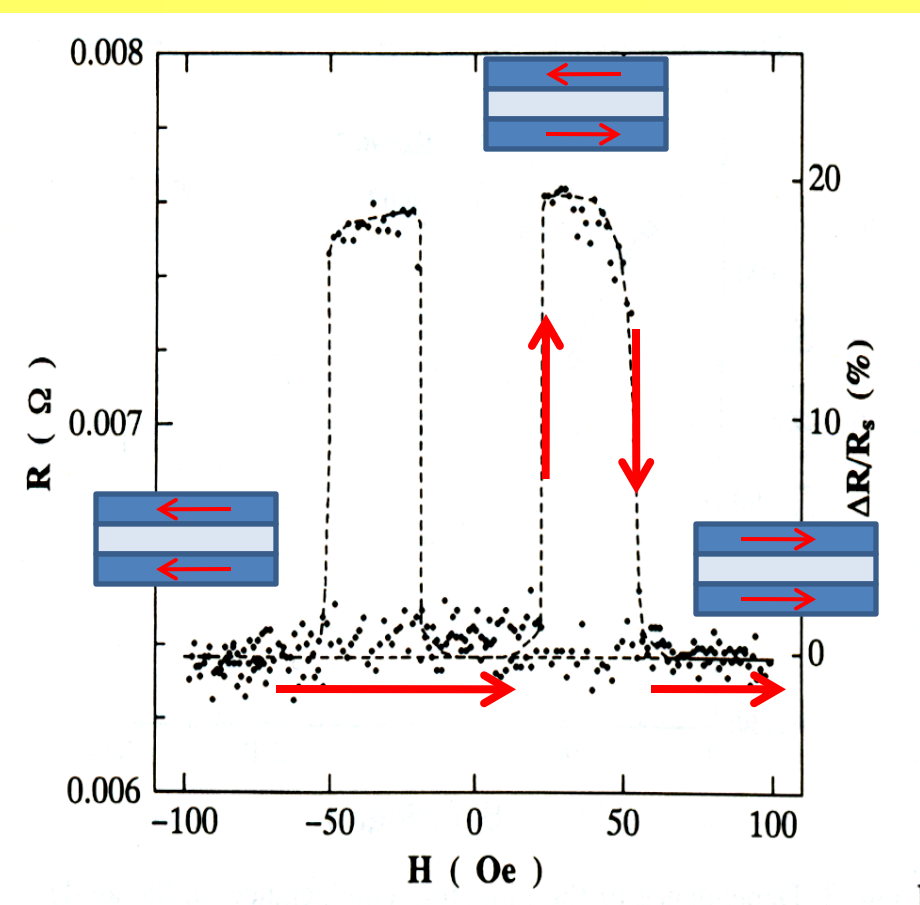
重要部分は、磁性体(F1)/非磁性体(N)/磁性体(F2)の3層構造 (各層の厚みは、ナノメートルスケール)

F1とF2の磁石の向きが平行 → 抵抗小 F1とF2の磁石の向きが反平行 → 抵抗大

スピン依存散乱



トンネル磁気抵抗効果(TMR)の発見



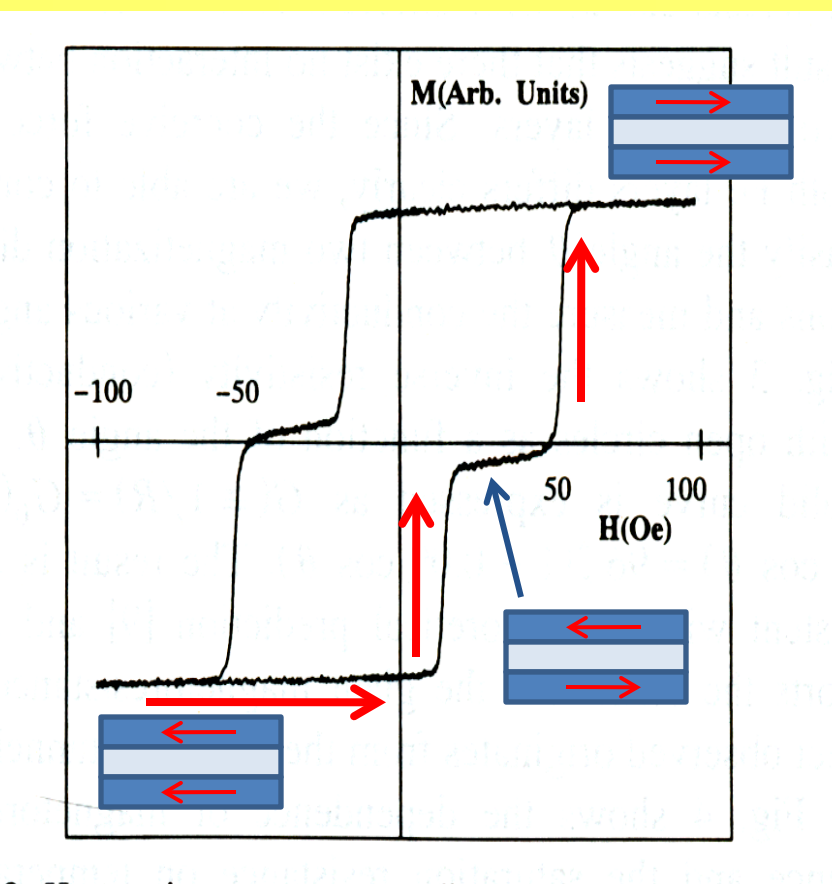


Fig. 2. Hysteresis curve corresponding to the magnetoresistance

Fig. 1. Resistance as a function of the magnetic field for 1000 Å curve in Fig. 1. Fe/Al₂O₃ /1000 Å Fe junction.

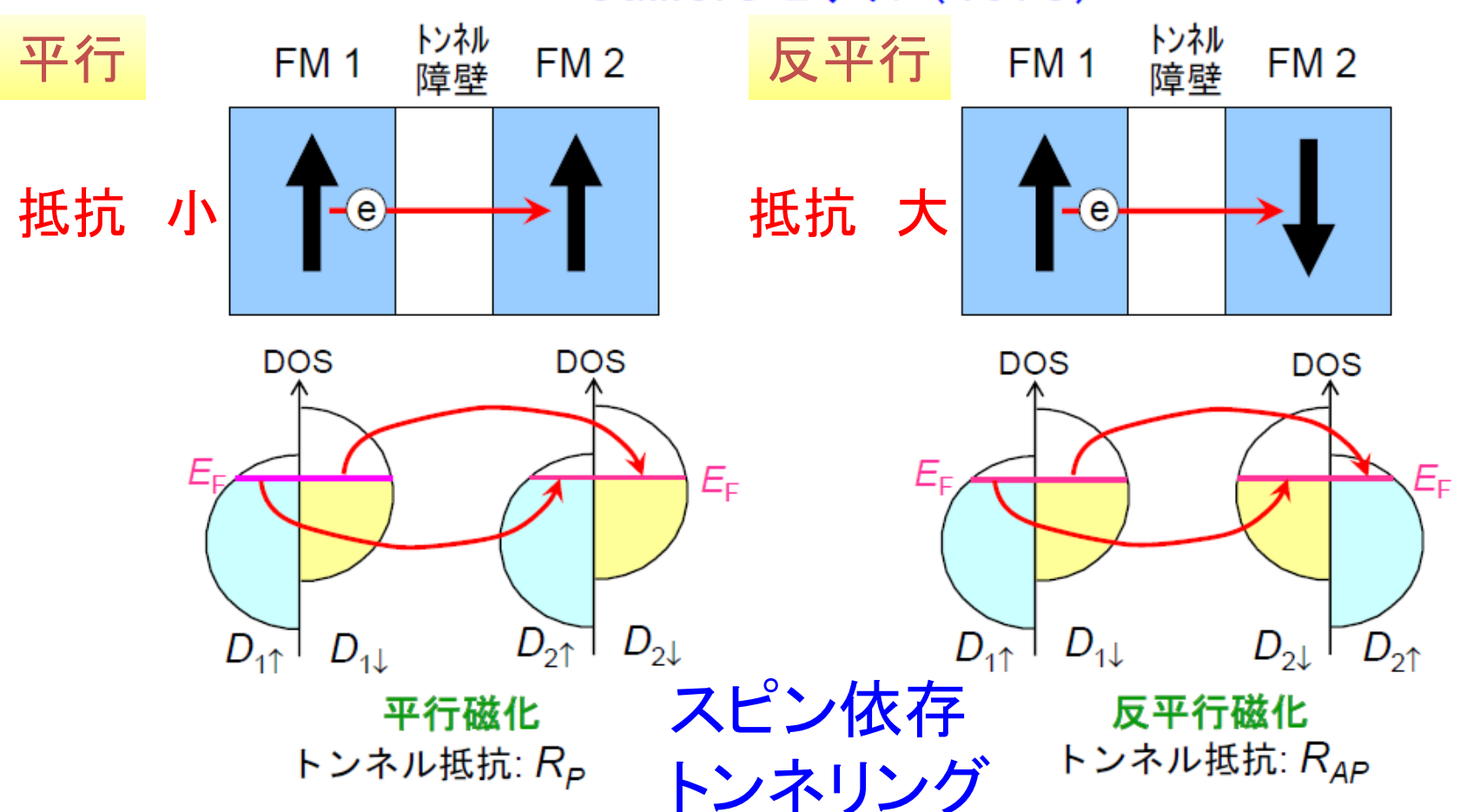
Fe/Al₂O₃/Fe膜において、室温でGMRより大きな TMR効果が発見され、TMRの研究に火がついた。

東北大 宮崎先生

JMMM 139, L231 (1995)

TMR(トンネル磁気抵抗効果)

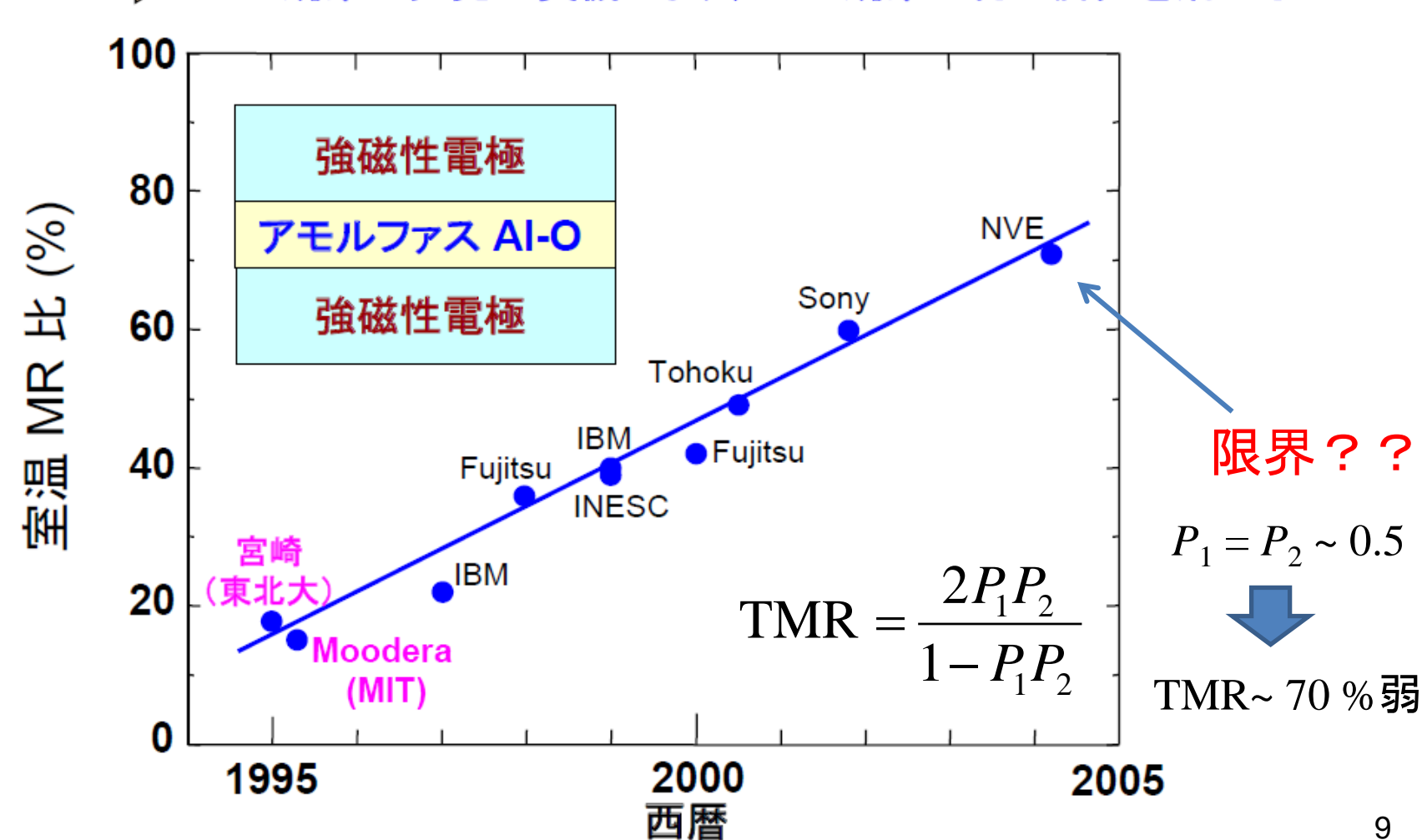
Julliereモデル(1975)



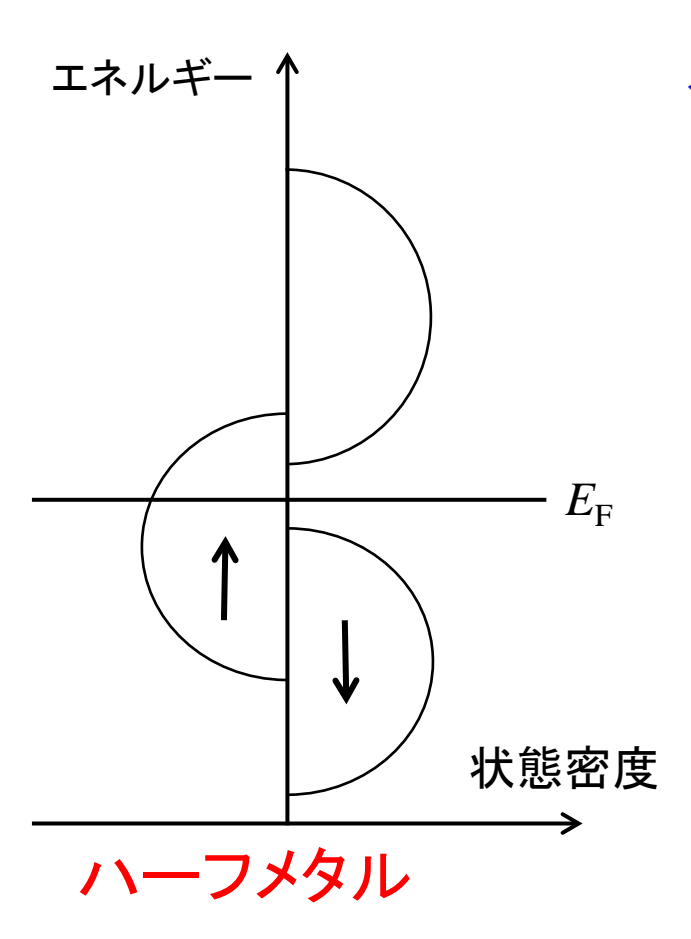
TMR研究の進歩

低温でTMR効果が発現することが1975年から知られていたが、 室温では実現されなかったため、その後あまり注目されず

■ GMR効果の発見が契機となり、TMR効果が再び脚光を浴びる



ハーフメタルTMRの研究



E_Fでは片方のスピン状態しか 存在しない

スピン分極率

$$P_{i} = \frac{D_{i\uparrow} - D_{i\downarrow}}{D_{i\uparrow} + D_{i\downarrow}}$$

 $D_{i\sigma}$ は強磁性層iの E_{f} における 各スピンバンドの状態密度

ハーフメタルでは1

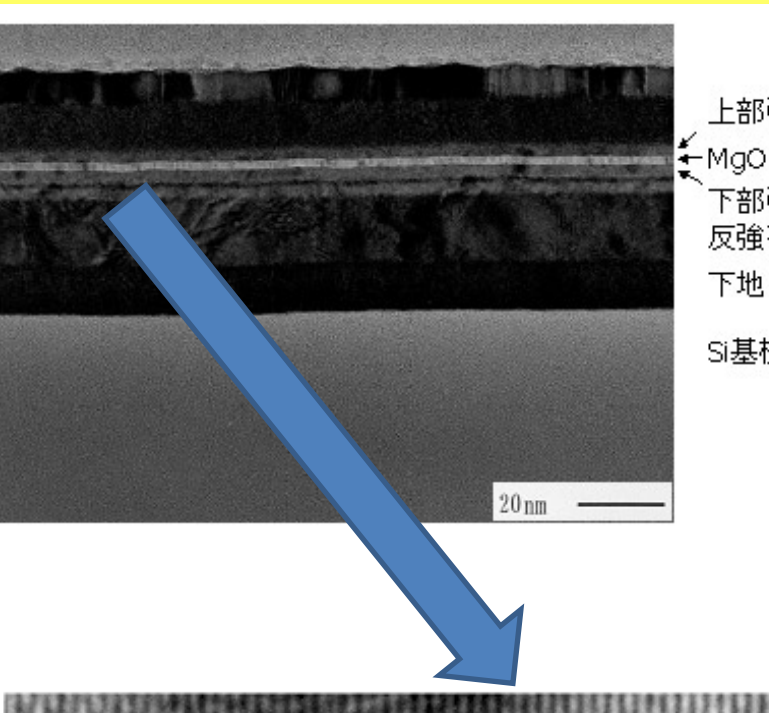
TMR

$$TMR = \frac{2P_1P_2}{1 - P_1P_2}$$

ホイスラー合金、Mn酸化物、Fe₃O₄など

TMR → 理論的には無限大

MgOバリアの成功



上部強磁性電極

単結晶Fe/MgO/Fe接合 下部強磁性電極 反強磁性

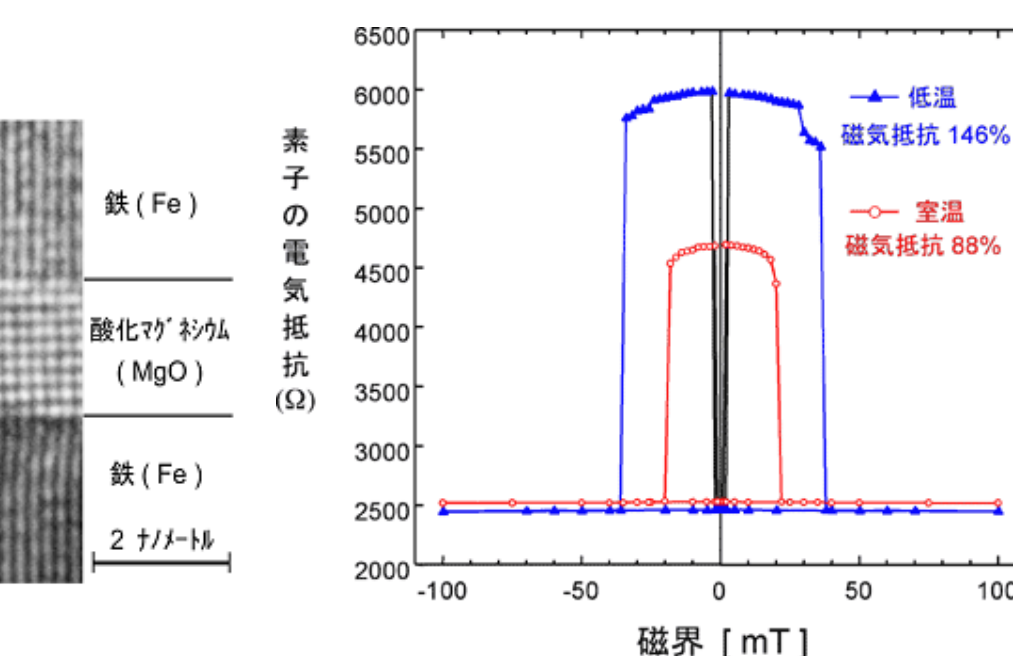
Si基板

室温で88 %のTMRは当時 (2004)は世界最高記録。



産総研 湯浅氏

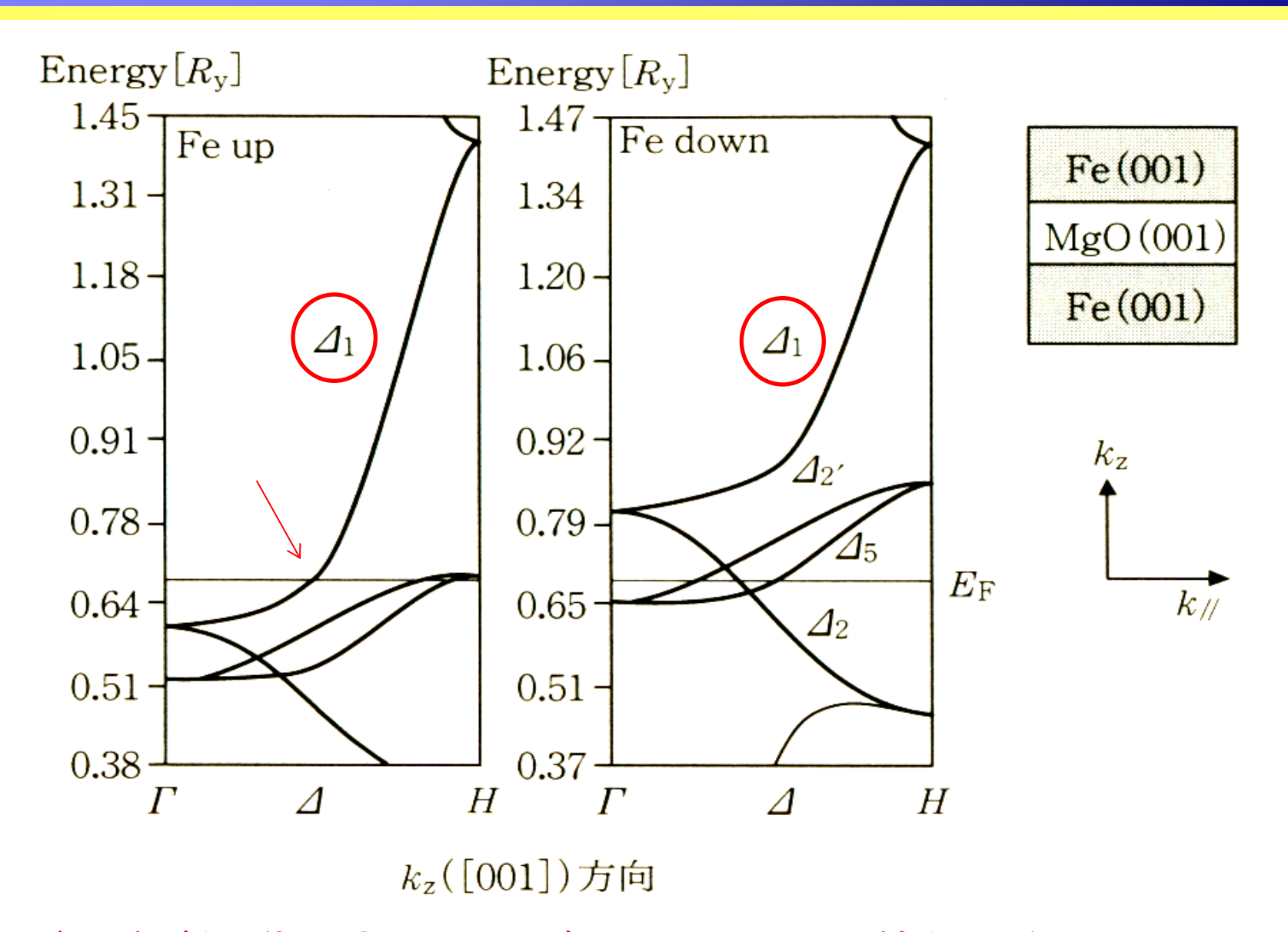
MgOバリアの可能性を示した。



産総研 プレスリリース

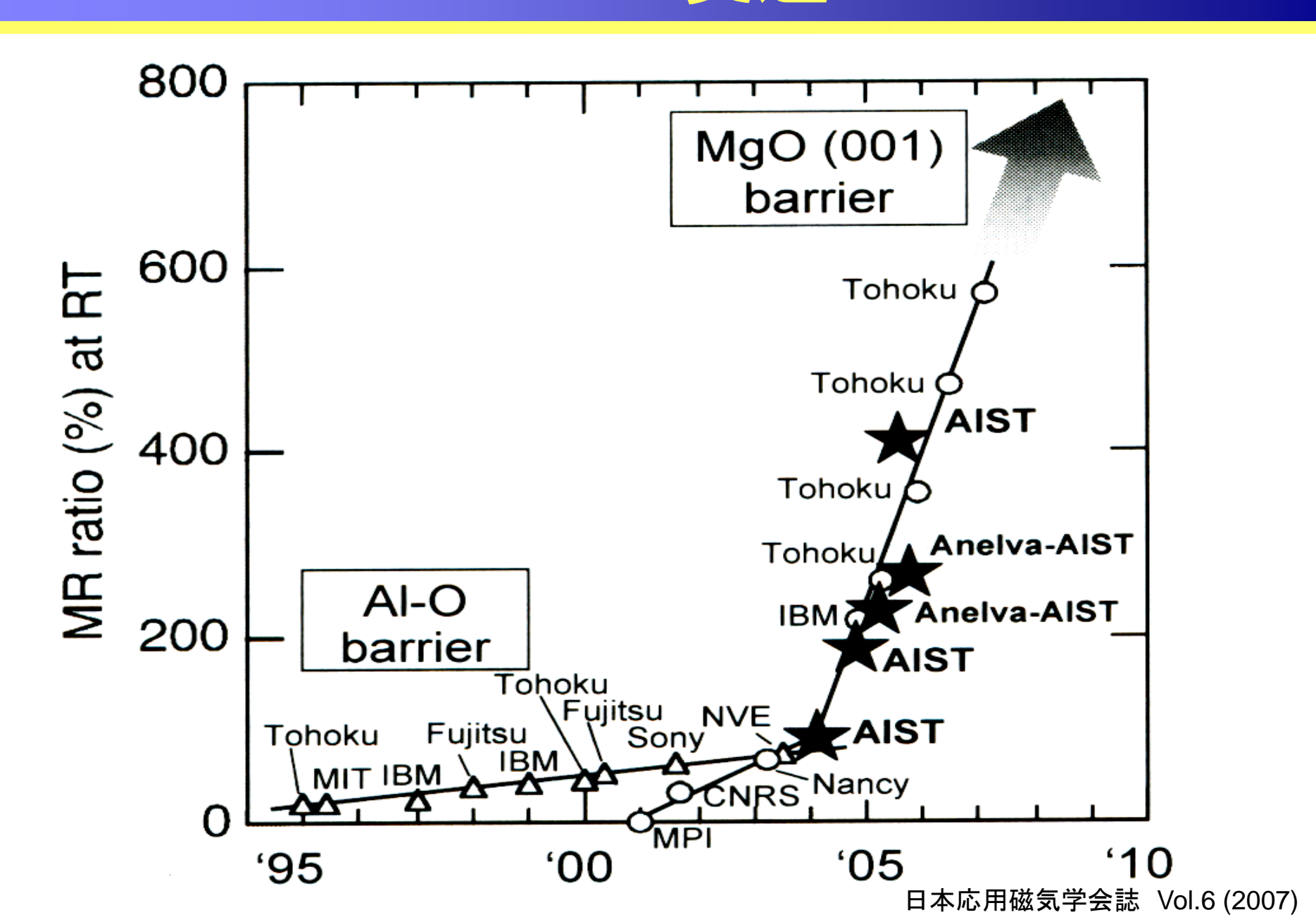
100

MgOバリアはなぜよいか?



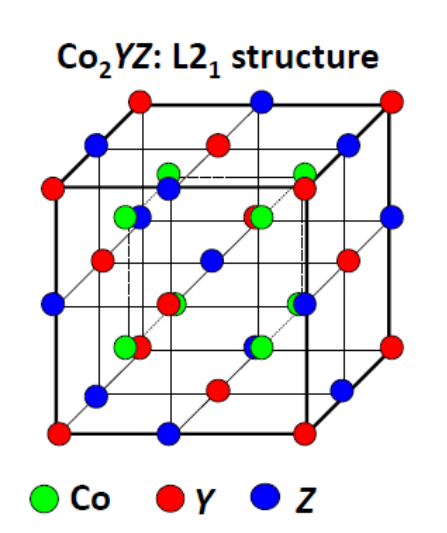
Δ₁バンドが伝導に寄与。Feがハーフメタルと等価になる。

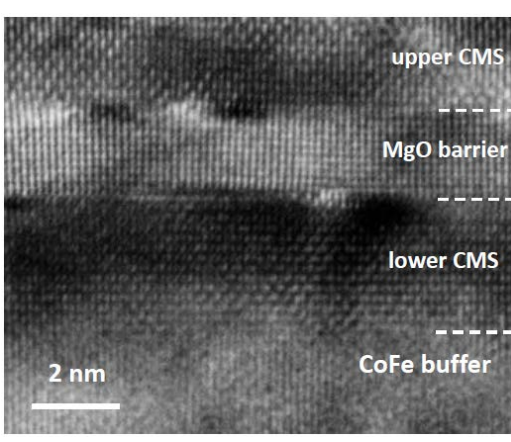
TMRの変遷



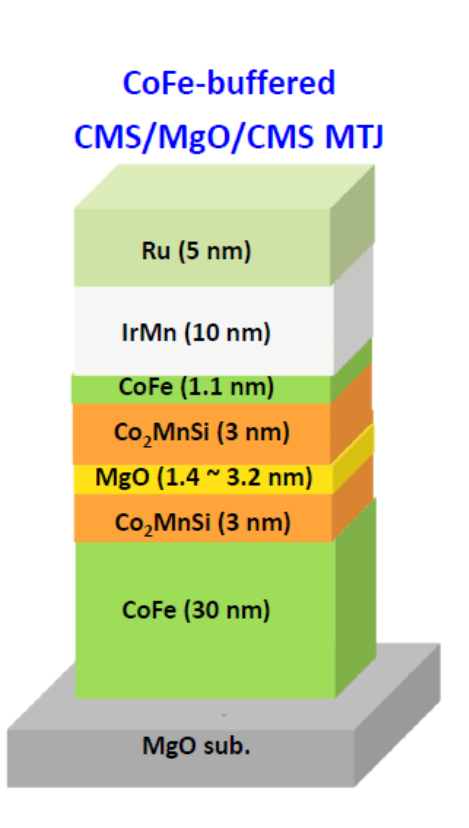
ホイスラー合金とTMR

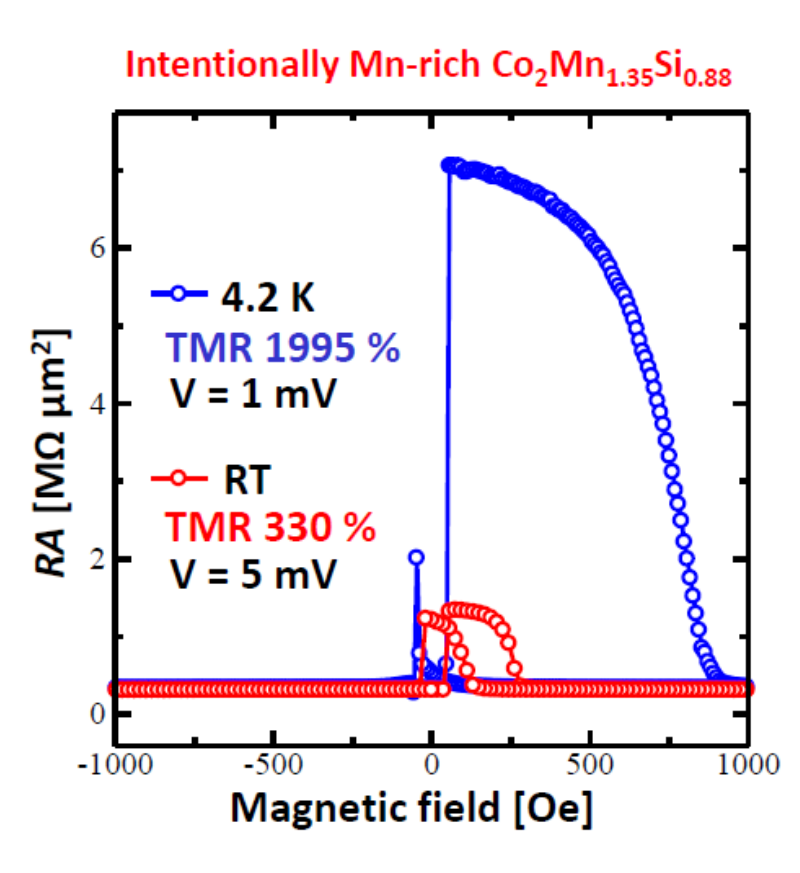
Co₂MnSi (CMS)ホイスラー合金強を用いたCPP-GMR素子





高分解能電子顕微鏡像





素子構造と磁気抵抗変化

低温で約2000%, 室温でも 300%以上を達成!

北大 山本研 HP

ホイスラー合金によるTMRの変遷

